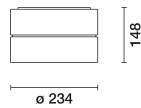


Letzte Aktualisierung der Informationen: Januar 2025

**Produktkonfiguration: RP00.R8**

RP00.R8: Deckenleuchte - Ø234 - Allgemeinbeleuchtung - Schwarz/Durchsichtig/Schwarz Durchsichtig

**Produktcode**

RP00.R8: Deckenleuchte - Ø234 - Allgemeinbeleuchtung - Schwarz/Durchsichtig/Schwarz Durchsichtig

**Beschreibung**

Leuchte für direkte Beleuchtung - Deckeninstallation. LED-Lichtquelle mit hohem Farbwiedergabeindex - Hochleistungsfähige Lichtemission mit hoher Leuchtleistung für den Einsatz als Allgemeinbeleuchtung. Lichtausgabeaggregat aus PMMA bestehend aus durchsichtigem Reflektor mit Prismenstruktur kombiniert mit Lichtstromverstärker und Blendschutz - eine interne Abdeckung aus Polycarbonat definiert das Aussehen des Leuchtengehäuses. Außenstruktur des Dual-Leuchtengehäuses aus gedrehtem Aluminium - Finish in einheitlicher oder kombinierter Lackierung. Mit dem praktischen Bajonett-Befestigungssystem können die beiden Teile der Leuchte für Verkabelungsarbeiten getrennt werden - ein Sicherungskabel aus Stahl verhindert das Herunterfallen der Elemente. Dimmbare DALI-Versorgungseinheit integriert im Leuchtenkorpus. Der Leuchtenkörper in der PURE-Ausführung unterscheidet sich durch den Außenring unten aus durchscheinendem Strukturmaterial.

**Installation**

Der Einbau erfolgt direkt auf dem mithilfe des Bajonett-Systems teilbaren Gehäuse.

**Farben**

Schwarz/Durchsichtig/Schwarz Durchsichtig (R8)

**Gewicht (Kg)**

1.79

**Montage**

Deckenanbauleuchte

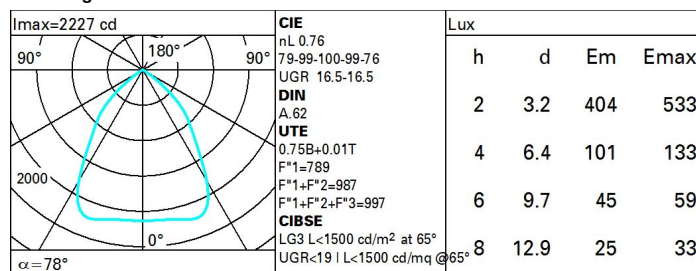
**Verkabelung**

Integriertes dimmbares DALI- Vorschaltgerät - die Kabelklemme befindet sich im oberen Teil des Gehäuses.

Gemäß der Normen EN60598-1 u. Sondernormen

**Technische Daten**

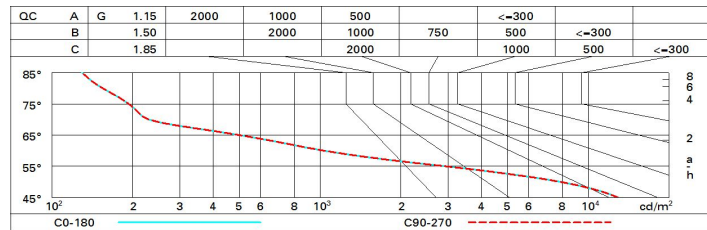
|   |      |                                   |        |
|---|------|-----------------------------------|--------|
| Im System:  | 3519 | CRI (minimum):                    | 90     |
| W System:   | 32   | Farbtemperatur [K]:               | 4000   |
| Im Lichtquelle:   | 4630 | MacAdam Step:                     | 2      |
| W Lichtquelle:  | 32   | Lampencode:                       | LED    |
| Lichtausbeute (lm/W, Systemwert):                           | 110  | Anzahl Lampen in Leuchtengehäuse: | 1      |
| Im im Notlichtbetrieb:                                      | -    | ZVEI-Code:                        | LED    |
| abgegebener Lichtstrom bei/ über einem Winkel von 90° [lm]: | 28   | Anzahl Leuchtengehäuse:           | 1      |
| Leuchtenbetriebswirkungsgrad 76 (L.O.R.) [%]:               |      | Control:                          | DALI-2 |

**Polardiagramm**

# Wirkungsgrad

| R    | 77 | 75 | 73 | 71 | 55 | 53 | 33 | 00 | DRR |
|------|----|----|----|----|----|----|----|----|-----|
| K0.8 | 61 | 55 | 52 | 49 | 55 | 51 | 51 | 47 | 63  |
| 1.0  | 65 | 60 | 57 | 54 | 59 | 56 | 56 | 52 | 69  |
| 1.5  | 71 | 67 | 65 | 62 | 66 | 64 | 63 | 60 | 79  |
| 2.0  | 74 | 71 | 69 | 67 | 70 | 68 | 67 | 64 | 85  |
| 2.5  | 76 | 74 | 72 | 71 | 73 | 71 | 70 | 67 | 89  |
| 3.0  | 77 | 76 | 74 | 73 | 74 | 73 | 72 | 69 | 92  |
| 4.0  | 78 | 77 | 76 | 75 | 76 | 75 | 73 | 71 | 94  |
| 5.0  | 79 | 78 | 77 | 76 | 76 | 76 | 74 | 72 | 95  |

# Söller-Diagramm



# UGR-Diagramm

| Corrected UGR values (at 4030 lm bare lamp luminous flux) |      |             |      |      |      |      |             |      |      |      |      |
|---|------|-------------|------|------|------|------|-------------|------|------|------|------|
| Reflect.:   |      |             |      |      |      |      |             |      |      |      |      |
| ceil/cav  |      | 0.70        | 0.70 | 0.50 | 0.50 | 0.30 | 0.70        | 0.70 | 0.50 | 0.50 | 0.30 |
| walls   |      | 0.50        | 0.30 | 0.50 | 0.30 | 0.30 | 0.50        | 0.30 | 0.50 | 0.30 | 0.30 |
| work pl.  |      | 0.20        | 0.20 | 0.20 | 0.20 | 0.20 | 0.20        | 0.20 | 0.20 | 0.20 | 0.20 |
| Room dim  |      | viewed      |      |      |      |      | viewed      |      |      |      |      |
| x   | y    | crosswise   |      |      |      |      | endwise     |      |      |      |      |
| 2H  | 2H   | 17.1        | 17.9 | 17.4 | 18.1 | 18.4 | 17.1        | 17.9 | 17.4 | 18.1 | 18.4 |
|   | 3H   | 16.9        | 17.7 | 17.3 | 17.9 | 18.2 | 17.0        | 17.7 | 17.3 | 18.0 | 18.3 |
|   | 4H   | 16.9        | 17.5 | 17.2 | 17.8 | 18.2 | 16.9        | 17.6 | 17.2 | 17.9 | 18.2 |
|   | 6H   | 16.8        | 17.4 | 17.2 | 17.7 | 18.1 | 16.8        | 17.4 | 17.2 | 17.7 | 18.1 |
|   | 8H   | 16.7        | 17.3 | 17.1 | 17.7 | 18.0 | 16.8        | 17.4 | 17.2 | 17.7 | 18.1 |
|   | 12H  | 16.7        | 17.3 | 17.1 | 17.6 | 18.0 | 16.7        | 17.3 | 17.1 | 17.6 | 18.0 |
| 4H  | 2H   | 16.9        | 17.6 | 17.2 | 17.9 | 18.2 | 16.9        | 17.5 | 17.2 | 17.8 | 18.2 |
|   | 3H   | 16.7        | 17.3 | 17.1 | 17.7 | 18.0 | 16.7        | 17.3 | 17.1 | 17.7 | 18.0 |
|   | 4H   | 16.7        | 17.1 | 17.1 | 17.5 | 17.9 | 16.7        | 17.1 | 17.1 | 17.5 | 17.9 |
|   | 6H   | 16.6        | 17.0 | 17.0 | 17.4 | 17.9 | 16.6        | 17.0 | 17.0 | 17.4 | 17.9 |
|   | 8H   | 16.5        | 16.9 | 17.0 | 17.4 | 17.8 | 16.5        | 16.9 | 17.0 | 17.3 | 17.8 |
|   | 12H  | 16.5        | 16.8 | 17.0 | 17.3 | 17.8 | 16.5        | 16.8 | 17.0 | 17.3 | 17.8 |
| 8H  | 4H   | 16.5        | 16.9 | 17.0 | 17.3 | 17.8 | 16.5        | 16.9 | 17.0 | 17.4 | 17.8 |
|   | 6H   | 16.4        | 16.8 | 16.9 | 17.2 | 17.7 | 16.5        | 16.8 | 16.9 | 17.2 | 17.7 |
|   | 8H   | 16.4        | 16.7 | 16.9 | 17.2 | 17.7 | 16.4        | 16.7 | 16.9 | 17.2 | 17.7 |
|   | 12H  | 16.4        | 16.6 | 16.9 | 17.1 | 17.6 | 16.4        | 16.6 | 16.9 | 17.1 | 17.6 |
| 12H   | 4H   | 16.5        | 16.8 | 17.0 | 17.3 | 17.8 | 16.5        | 16.8 | 17.0 | 17.3 | 17.8 |
|   | 6H   | 16.4        | 16.7 | 16.9 | 17.2 | 17.7 | 16.4        | 16.7 | 16.9 | 17.2 | 17.7 |
|   | 8H   | 16.4        | 16.6 | 16.9 | 17.1 | 17.6 | 16.4        | 16.6 | 16.9 | 17.1 | 17.6 |
| Variations with the observer position at spacing:         |      |             |      |      |      |      |             |      |      |      |      |
| S =   | 1.0H | 1.6 / -0.3  |      |      |      |      | 1.6 / -0.3  |      |      |      |      |
|   | 1.5H | 3.8 / -12.4 |      |      |      |      | 3.8 / -12.4 |      |      |      |      |
|   | 2.0H | 5.8 / -15.3 |      |      |      |      | 5.8 / -15.3 |      |      |      |      |